

ISSN 1000-0933
CN 11-2031/Q

生态学报

Acta Ecologica Sinica



第32卷 第3期 Vol.32 No.3 2012

中国生态学学会
中国科学院生态环境研究中心
科学出版社

主办
出版



中国科学院科学出版基金资助出版

生态学报 (SHENTAI XUEBAO)

第32卷 第3期 2012年2月 (半月刊)

目 次

| | | |
|---|------------------|-------|
| 夏季可可西里雌性藏原羚行为时间分配及活动节律 | 连新明, 李晓晓, 颜培实, 等 | (663) |
| 热带印度洋黄鳍金枪鱼渔场时空分布与温跃层的关系 | 杨胜龙, 张禹, 张衡, 等 | (671) |
| 洪湖水体藻类藻相特征及其对生境的响应 | 卢碧林, 严平川, 田小海, 等 | (680) |
| 广西西端海岸四种红树植物天然种群生境高程 | 刘亮, 范航清, 李春干 | (690) |
| 高浓度 CO ₂ 引起的海水酸化对小珊瑚藻光合作用和钙化作用的影响 | 徐智广, 李美真, 霍传林, 等 | (699) |
| 盖度与冠层水深对沉水植物水盾草光谱特性的影响 | 邹维娜, 袁琳, 张利权, 等 | (706) |
| 基于 C-Plan 规划软件的生物多样性就地保护优先区规划——以中国东北地区为例 | | |
| | 栾晓峰, 孙工棋, 曲艺 | (715) |
| 城市化对本土植物多样性的影响——以廊坊市为例 | 彭羽, 刘雪华, 薛达元, 等 | (723) |
| 利用红外相机调查北京松山国家级自然保护区的野生动物物种 | 刘芳, 李迪强, 吴记贵 | (730) |
| 基于树木起源、立地分级和龄组的单木生物量模型 | 李海奎, 宁金魁 | (740) |
| 千岛湖社鼠种群遗传现状及与生境面积的关系 | 刘军, 鲍毅新, 张旭, 等 | (758) |
| 气候变化对内蒙古草原典型植物物候的影响 | 顾润源, 周伟灿, 白美兰, 等 | (767) |
| 中国西北典型冰川区大气氮素沉降量的估算——以天山乌鲁木齐河源 1 号冰川为例 | | |
| | 王圣杰, 张明军, 王飞腾, 等 | (777) |
| 植被类型对盐沼湿地空气生境节肢动物功能群的影响 | 童春富 | (786) |
| 黔西北铅锌矿区植物群落分布及其对重金属的迁移特征 | 邢丹, 刘鸿雁, 于萍萍, 等 | (796) |
| 云南中南部季风常绿阔叶林恢复生态系统萌生特征 | 苏建荣, 刘万德, 张志钧, 等 | (805) |
| 筑坝扩容下高原湿地拉市海植物群落分布格局及其变化 | 肖德荣, 袁华, 田昆, 等 | (815) |
| 三峡库区马尾松根系生物量的空间分布 | 程瑞梅, 王瑞丽, 肖文发, 等 | (823) |
| 兴安落叶松林生物量、地表枯落物量及土壤有机碳储量随林分生长的变化差异 | | |
| | 王洪岩, 王文杰, 邱岭, 等 | (833) |
| 内蒙古放牧草地土壤碳固持速率和潜力 | 何念鹏, 韩兴国, 于贵瑞 | (844) |
| 不同林龄马尾松凋落物基质质量与土壤养分的关系 | 葛晓改, 肖文发, 曾立雄, 等 | (852) |
| 不同丛枝菌根真菌侵染对土壤结构的影响 | 彭思利, 申鸿, 张宇亭, 等 | (863) |
| 不同初始含水率下粘质土壤的入渗过程 | 刘目兴, 聂艳, 于婧 | (871) |
| 不同耕作措施的温室气体排放日变化及最佳观测时间 | 田慎重, 宁堂原, 迟淑筠, 等 | (879) |
| 外源铅、铜胁迫对不同基因型谷子幼苗生理生态特性的影响 | 肖志华, 张义贤, 张喜文, 等 | (889) |
| 温度和盐度对吉富品系尼罗罗非鱼幼鱼 $\text{Na}^+ \text{-K}^+$ -ATPase 活力的联合效应 | | |
| | 王海贞, 王辉, 强俊, 等 | (898) |
| 基于元胞自动机的喀斯特石漠化格局模拟研究 | 王晓学, 李叙勇, 吴秀芹 | (907) |
| 边缘细胞对荞麦根尖铝毒的防护效应和对细胞壁多糖的影响 | 蔡妙珍, 王宁, 王志颖, 等 | (915) |
| 川中丘陵区人工柏木防护林适宜林分结构及水文效应 | 龚固堂, 黎燕琼, 朱志芳, 等 | (923) |
| 基于 AHP 与 Rough Set 的农业节水技术综合评价 | 翟治芬, 王兰英, 孙敏章, 等 | (931) |
| 基于 DMSP/OLS 影像的我国主要城市群空间扩张特征分析 | 王翠平, 王豪伟, 李春明, 等 | (942) |
| 生态旅游资源非使用价值评估——以达赉湖自然保护区为例 | 王朋薇, 贾竞波 | (955) |
| 专论与综述 | | |
| 基于有害干扰的森林生态系统健康评价指标体系的构建 | 袁菲, 张星耀, 梁军 | (964) |
| 硅对植物抗虫性的影响及其机制 | 韩永强, 魏春光, 侯茂林 | (974) |
| 研究简报 | | |
| 光照条件、植株冠层结构和枝条寿命的关系——以桂花和水杉为例 | 占峰, 杨冬梅 | (984) |
| Bt 玉米秸秆还田对小麦幼苗生长发育的影响 | 陈小文, 祁鑫, 王海永, 等 | (993) |
| 汶川大地震灾后不同滑坡体上柏木体内非结构性碳水化合物的特性 | 陈博, 李志华, 何茜, 等 | (999) |
| 期刊基本参数: CN 11-2031/Q * 1981 * m * 16 * 344 * zh * P * ¥ 70.00 * 1510 * 37 * 2012-02 | | |



封面图说:难得的湿地乔木——池杉池杉为落叶乔木,高达 25 米,主干挺直,树冠尖塔。树干基部膨大,常有屈膝状吐吸根,池杉为速生树,强阳性,耐寒性较强,耐干旱,更极耐水淹,多植于湖泊周围及河流两岸,是能在水里生长的极少数的大乔木之一,故有湿地乔木之称。池杉原产美国弗吉尼亚沼泽地,中国于本世纪初引种到江苏等地,之后大量引种南方各省,尤其是长江南北水网地区作为重要造树和园林树种而大量栽种。

彩图提供:陈建伟教授 国家林业局 E-mail: cites.chenjw@163.com

DOI: 10.5846/stxb201109011285

徐智广, 李美真, 霍传林, 于道德, 张振冬, 邵雁群. 高浓度 CO₂引起的海水酸化对小珊瑚藻光合作用和钙化作用的影响. 生态学报, 2012, 32(3): 699-705.

Xu Z G, Li M Z, Huo C L, Yu D D, Zhang Z D, Shao Y Q. Effects of CO₂-induced seawater acidification on photosynthesis and calcification in the coralline alga *Corallina pilulifera*. Acta Ecologica Sinica, 2012, 32(3): 699-705.

高浓度 CO₂ 引起的海水酸化对小珊瑚藻光合作用和钙化作用的影响

徐智广^{1, 3}, 李美真¹, 霍传林², 于道德¹, 张振冬^{2, *}, 邵雁群⁴

(1. 山东省海水养殖研究所, 青岛 266002; 2. 国家海洋环境监测中心, 大连 116023;

3. 厦门大学近海海洋环境科学国家重点实验室, 厦门 361005; 4. 青岛市城阳区海洋与渔业局, 青岛 266109)

摘要:为了探讨 CO₂海底封存潜在的渗漏危险对于海洋生物的可能影响,以大型钙化藻类小珊瑚藻(*Corallina pilulifera*)为研究对象,在室内控光控温条件下,通过向培养海水充入 CO₂气体得到3种不同酸化程度的培养条件(pH 8.1、6.8 和 5.5),24h 后比较藻体光合作用和钙化作用情况。结果显示:相对于自然海水培养条件(pH 8.1),在 pH 6.8 条件下培养的小珊瑚藻光合固碳速率得到了增强,而在 pH 5.5 条件下光合固碳速率则降低;随着酸化程度的增强,藻体的钙化固碳速率越来越低,在 pH 5.5 条件下甚至表现为负值[(-2.53±0.57) mg C g⁻¹干重 h⁻¹];藻体颗粒无机碳(PIC)和颗粒有机碳(POC)含量的比值随着酸化程度的加强而降低,这反映了酸化对光合和钙化作用的综合效应。快速光反应曲线的测定结果显示:随着酸化程度的增强,强光引起的光抑制程度越来越强;在酸化条件下,藻体的光饱和点显著降低,但 pH 6.8 和 5.5 之间没有显著差异;低光下的电子传递速率在 pH 8.1 和 6.8 之间没有显著差异,pH 5.5 培养条件下显著降低;最大电子传递速率在 pH 6.8 时最大,在 pH 5.5 时最低。以上结果说明,高浓度 CO₂引起的海水酸化显著地影响着小珊瑚藻的光合和钙化过程,不同的酸化程度下,藻体的光合、钙化反应不同,在较强的酸化程度下(pH 5.5),藻体的光合和钙化过程都将受到强烈的抑制,这些结果为认识 CO₂海底封存渗漏危险对海洋钙化藻类的可能影响提供了理论参考。

关键词:CO₂; 海水酸化; 小珊瑚藻; 光合作用; 钙化作用; 快速光反应曲线

Effects of CO₂-induced seawater acidification on photosynthesis and calcification in the coralline alga *Corallina pilulifera*

XU Zhiguang^{1, 3}, LI Meizhen¹, HUO Chuanlin², YU Daode¹, ZHANG Zhendong^{2, *}, SHAO Yanqun⁴

1 Mariculture Institute of Shandong Province, Qingdao 266002, China

2 National Marine Environmental Monitoring Center, State Oceanic Administration, Dalian 116023, China

3 State Key Laboratory of Marine Environmental Science, Xiamen University, Xiamen 361005, China

4 Sea and fisheries department of Chengyang District, Qingdao City, Qingdao 266109, China

Abstract: Increasing atmospheric CO₂ is causing global public concern and seabed sequestration is one possible method of carbon reduction. However, studies on the potential risk of CO₂ leakage and its possible effects on the marine environment are still very limited. To investigate such possible effects on sensitive marine organisms, coralline algae, *Corallina pilulifera*, were cultured under controlled conditions: 20°C, 100 μmol photons m⁻² s⁻¹ and a light period of 12h. Three treatments were set at acidities of pH 8.1, 6.8 and 5.5, by aerating natural seawater with pure gaseous CO₂. After 24

基金项目:海洋行业公益项目(200805029 和 200905020-2);国家海洋局重点实验室基金(200912);近海海洋环境科学国家重点实验室(厦门大学)青年访问学者基金(MELRS1105);山东省科技发展计划项目(2009GG10005012)

收稿日期:2011-09-01; 修订日期:2011-12-13

* 通讯作者 Corresponding author. E-mail: zdzhang@nmemc.gov.cn

hours, photosynthesis and calcification rates of *C. pilulifera* cultured at different pH levels were determined. The rate of photosynthetic carbon fixation was enhanced at the pH of 6.8 and was inhibited at the pH of 5.5, compared with the algae grown in the seawater control (pH 8.1). The rate of calcified carbon fixation was depressed with decreasing pH, and even exhibited a negative value [(-2.53±0.57) mg C (g DW)⁻¹ h⁻¹] at pH 5.5. Additionally, with the decrease in pH, the ratio of particulate inorganic carbon (PIC) to particulate organic carbon (POC) content in the algae, measured with a vario TOC cube, decreased remarkably, which reflected the comprehensive effects of CO₂-induced seawater acidification on photosynthesis and calcification. Rapid light curves of algae cultured at different pH levels, which indicated the responses of electron transport rates (ETR) in photosystem II (PS II) to irradiance, were determined by pulse amplitude modulated chlorophyll fluorescence (PAM). The results showed that the photoinhibition term (a) increased with the decrease in pH, indicating that algae grown at lower pH levels experience greater photoinhibition. The light saturation point (I_s) decreased significantly under the CO₂-induced acidification conditions, though a significant difference was not found between pH of 6.8 and 5.5. The initial slope of the rapid light curve (α), reflecting the efficiency of the electron transport rate at low irradiance, was lower at pH 5.5 than at the other two levels, while there was no significant difference between pH 8.1 and 6.8 levels. The maximum relative electron transport rate ($rETR_{max}$) exhibited the highest value in algae cultured at pH 6.8 and the lowest at pH 5.5. According to these results, we concluded that CO₂-induced seawater acidification noticeably affected the photosynthesis and calcification of *C. pilulifera*, and different degrees of acidification caused different responses of photosynthesis and calcification. At the lowest pH level (pH 5.5), both the photosynthesis and calcification of *C. pilulifera* were significantly inhibited. These results provide a reference for studies on the risk of CO₂ leakage from seabed sequestration methods on the physiology and ecology of marine coralline algae.

Key Words: CO₂; seawater acidification; *Corallina pilulifera*; photosynthesis; calcification; rapid light curves

自工业革命以来,人类活动的排放使得大气中CO₂浓度不断升高,专家预测到本世纪末大气中CO₂的浓度将升高一倍^[1]。大气CO₂浓度的升高导致了一系列环境问题,如,全球变暖、海洋酸化、海平面升高、水循环异常、海洋上部混合层浅化等等。CO₂问题已经引起了社会各界的广泛重视。

多年来,科研工作者一直着眼于探讨有效的措施来减缓大气CO₂浓度的升高及其带来的全球环境问题。其中,海底封存技术是最引人关注的一种CO₂隔离处理方案。CO₂海底封存是将工业排放的CO₂进行收集,以不同形式(气体、液体、固体或水合物)注入到海底,让其在高压低温条件的海底长期封存^[2],对这一方案的可行性及技术研究方面已经有很多报道^[3-5],但是,由于这一措施具有潜在的CO₂渗漏风险,其直接的后果是引起局部pH值的急速降低和碳酸盐系统的改变^[6],由此导致的对海洋环境和海洋生物的可能影响是我们必须考虑的问题^[7],但相关的研究、尤其是对藻类的研究还非常缺乏。

小珊瑚藻(*Corallina pilulifera* Post et Ruprecht)属于红藻门(Rhodophyta)、真红藻亚纲(Florideae)、珊瑚藻目(Corallinace)、珊瑚藻科(Corallinaceae)、珊瑚藻属(*Corallina*),是一种常见的大型钙化藻类,目前对其化学成分分析^[8-9]及其对赤潮藻克生效应方面^[10-11]的研究已经有一些报道。另外,小珊瑚藻是CO₂浓度升高引起海水酸化的重要敏感生物种之一,容易受到空气和海水中CO₂浓度的双重影响,研究表明,CO₂浓度升高会降低该藻的钙化速率,对其生长产生抑制^[12-13]。目前我国一项863重点项目“二氧化碳封存技术研究”已在位于天津市塘沽区近岸的渤海湾盆地开展试验性封存,该项目为分析海底CO₂封存泄漏对近岸生物的可能影响提供了一个良好的试验场。本研究以小珊瑚藻为材料,力图在室内可控条件下探讨CO₂海洋封存渗露所引起的海水酸化对其光合作用和钙化作用的影响,以此引起人们对CO₂海底封存的渗漏危险对海洋生物可能影响的重视。

1 材料方法

1.1 材料

小珊瑚藻(*Corallina pilulifera* Post et Ruprecht),采自厦门鼓浪屿潮间带,样品采集后置于低温盒(5℃)在

0.5 h 内运到实验室。藻体经灭菌海水冲洗干净并去除表面附着物,然后选择健康一致的个体于光照培养箱中预培养 24 h 后用于实验。预培养的光温条件为:温度 20 ℃,光照强度 100 μmol 光子 m⁻² s⁻¹,光暗比为 12 h :12 h。

1.2 不同培养条件的设置

实验设置 3 个不同 pH 值的培养条件:8.1、6.8 和 5.5,各 3 个平行,pH 值使用经标准液校正的 pH 计 (FE20, Mettler Toledo, Switzerland) 测定。pH 值 8.1 的处理为自然海水,6.8 和 5.5 的 pH 值通过向自然海水充不同纯 CO₂ 气体的量获得,充气时用 pH 计即时监测海水 pH 值变化,当 pH 达到所需值时停止充气,放入藻体进行静水培养,培养密度为 3 g/L,光照培养箱控制培养温度为 20 ℃,光照强度为 100 μmol 光子 m⁻² s⁻¹,光暗比为 12 h :12 h。培养过程监测 pH 值,3 h 内 pH 8.1、6.8 和 5.5 三个处理的 pH 值分别升高了 0.4、0.5 和 0.2 个单位。因而每隔 3 h 向各处理的培养液中充 CO₂ 气体调节 pH 到设置的值。24 h 后测定不同处理下小珊瑚藻的光合作用和钙化作用。

1.3 总碱度测定及海水碳酸盐系统各成份含量的计算

各个处理培养海水的总碱度 (T_A) 通过电位滴定仪 (DL15, Mettler-Toledo, Switzerland) 直接测定。海水碳酸盐系统其他成分的含量,如总的无机碳浓度 (TC)、溶解 CO₂、HCO₃⁻ 和 CO₃²⁻ 浓度,根据已知的 T_A 和 pH 值以及海水的盐度、温度和各种营养盐浓度等参数条件,利用 CO₂SYS 软件计算得到^[14]。

1.4 藻体中碳成分的含量测定

小珊瑚藻在不同处理下培养 24 h 后,各取样品于 50 ℃ 下烘干并研磨成粉状,称取 1.0 mg 左右的样品粉末,用玻璃微纤维滤纸包裹放于不密封的试管中,试管暴露于浓盐酸挥发形成的酸雾条件下酸熏 24 h,以除去样品中的颗粒无机碳 (PIC),然后再次烘干,用作测定样品。待测样品通过碳氮分析仪 (TOC/TNb Analyzer, vario TOC cube, Elemental Analysensysteme GmbH, Germany) 测定,直接得到碳颗粒含量。经过酸熏处理的样品测定结果为藻体内的颗粒有机碳 (POC) 含量,未经酸熏处理的样品测定结果为总的碳颗粒含量,减去 POC 的量即为藻体颗粒无机碳 (PIC) 含量。

1.5 钙化速率和光合速率的测定

分别测定不同培养条件下的小珊瑚藻在一定时间间隔内(本实验为 3 h) PIC 和 POC 含量(用碳氮分析仪测定)的变化,用 PIC 含量的增加速率表示藻的钙化固碳速率 (C_n),用 POC 含量的增加速率表示光合固碳速率 (P_n)。

1.6 快速光反应曲线的获得

取不同条件下培养 24 h 后的材料活体,通过叶绿素荧光仪 (XE-PAM, Walz, Germany) 直接测定不同光强 (I) 下小珊瑚藻光系统 II 的相对电子传递速率 ($rETR$),光强设置 272、397、597、843、1205、1638、2242、3060 μmol 光子 m⁻² s⁻¹ 等 8 个梯度。相对电子传递速率-光强曲线 ($rETR-I$ curve)、即快速光反应曲线通过以下公式拟合^[15]: $rETR = I / (aI^2 + bI + c)$,式中 a 、 b 、 c 为常数, a 为光抑制项值,代表着藻体电子传递在高光强下的受抑制程度,光饱和点 (I_k)、电子传递效率 (α ,即快速光反应曲线的初始斜率) 和最大电子传递速率 ($rETR_{max}$) 分别通过以下公式计算得到: $I_k = (c/a)^{0.5}$; $\alpha = 1/c$; $rETR_{max} = 1/[b + 2(ac)^{0.5}]$ 。

1.7 统计分析

所有数据表示为:平均数±标准差 ($n \geq 3$),用单因子方差分析 (One-way ANOVA) 和 t -检验分析比较不同处理之间的差异性,差异显著性水平设置为 $P = 0.05$ 。

2 结果

2.1 海水碳酸盐系统

向海水中充入 CO₂ 气体,在降低 pH 值的同时,会改变海水的碳酸盐系统平衡,使海水中各种无机碳形式的浓度发生变化。通过充入 CO₂ 调节培养海水 pH 值为 8.1、6.8 和 5.5 等 3 个梯度,3 种处理中各种无机碳形式的浓度如表 1 所示。随着 pH 值的降低,海水中溶解的总无机碳 (TC)、CO₂ 以及 HCO₃⁻ 浓度都出现了不同

程度的上升。与自然海水(pH 8.1)相比,pH 6.8 和 pH 5.5 处理的 TC 浓度分别升高了约 26% 和 382%。其中,CO₂浓度分别升高了约 23 倍和 480 倍;HCO₃⁻浓度分别升高了约 17% 和 20%,并且二者之间没有显著性差异($P = 0.095$);而 CO₃²⁻浓度则出现了急剧的下降,由(161.31±1.77) μmol/L 分别降低到(9.27±0.12) μmol/L 和(0.48±0.01) μmol/L。

表 1 不同 pH 值处理下海水碳酸盐系统各成分的浓度(μmol/L)

Table 1 Concentrations of various components of seawater carbonate system under different pH levels

| | pH 8.1 | pH 6.8 | pH 5.5 |
|-------------------------------|----------------------------|----------------------------|-----------------------------|
| TC | 2153.30±42.25 ^a | 2719.07±34.80 ^b | 10375.91±89.41 ^c |
| CO ₂ | 16.65±0.61 ^a | 393.59±5.03 ^b | 8012.28±69.04 ^c |
| HCO ₃ ⁻ | 1975.33±43.41 ^a | 2316.22±29.65 ^b | 2363.16±20.36 ^b |
| CO ₃ ²⁻ | 161.31±1.77 ^a | 9.27±0.12 ^b | 0.48±0.01 ^c |

同一行中不同的小写字母上标表示数值之间存在显著性差异($P < 0.05$)

2.2 钙化作用和光合作用

不同的 pH 值培养条件下,小珊瑚藻的钙化速率和光合速率表现出明显的差别(图 1, A)。随着 pH 值的降低,钙化速率明显降低,当 pH 值降到 5.5 时,甚至表现出负值((-2.53±0.57) mg C g⁻¹干重 h⁻¹)。光合作用速率则表现出不同的趋势,在 pH 6.8 时达到最大值((5.96±0.44) mg C g⁻¹干重 h⁻¹),比 pH 8.1 时的速率升高了约 53%,而 pH 5.5 时达到最小值((3.01±0.25) mg C g⁻¹干重 h⁻¹),比 pH 8.1 时的速率降低了约 23%。不同培养条件下钙化速率和光合速率的比值如图 1, B 所示,在自然海水 pH 8.1 的条件下,钙化与光合速率的比值为(1.14±0.28),随着 pH 值的降低,这一比值显著的降低($P = 0.007$; $P = 0.000$),在 pH 6.8 和 pH 5.5 时分别降低到(0.26±0.08)和(-0.85±0.23)。

由于不同培养条件下小珊瑚藻的钙化和光合作用速率之间的差异,使得 24 h 培养后其藻体内 PIC 和 POC 的积累也呈现了明显的不同,二者含量的比值如图 2 所示。pH 8.1 时,藻体 PIC 和 POC 含量比值为(1.20±0.11),在 pH 6.8 和 pH 5.5 的条件下,这一比值分别为(1.08±0.04)和(0.85±0.12),与 pH 8.1 相比下降了 10% 和 29%。

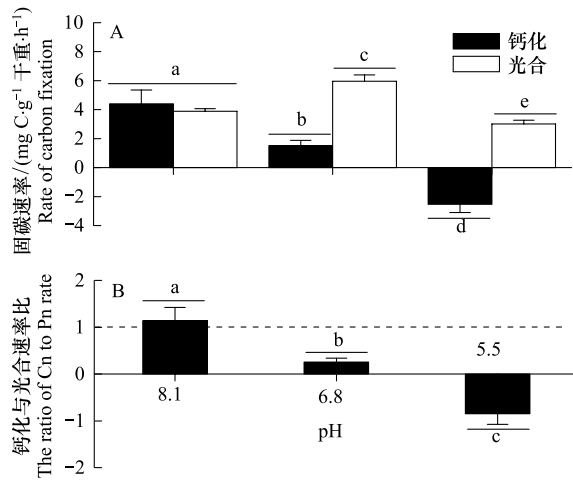


图 1 不同 pH 值处理下小珊瑚藻的固碳速率

Fig. 1 Rate of carbon fixation in *C. pilularia* cultured under different pH levels

不同的小写字母表示处理间具有显著性差异($P < 0.05$);钙化与光合速率比值中的虚线处比值为 1:1

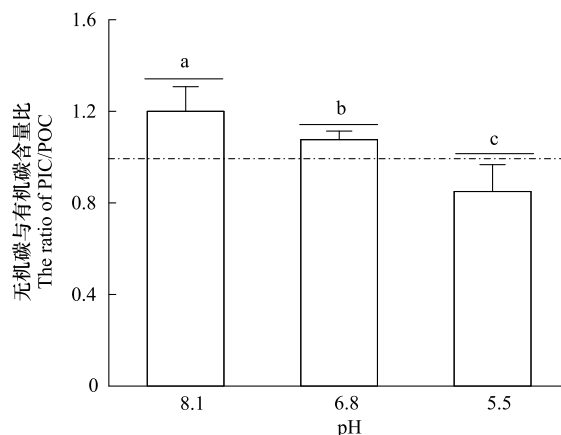


图 2 不同 pH 值处理的小珊瑚藻体内无机碳和有机碳含量的比值

Fig. 2 Ratio of PIC to POC in *C. pilularia* cultured under different pH levels

不同的小写字母表示处理间具有显著性差异($P < 0.05$);虚线处比值为 1:1

2.3 快速光反应曲线

不同 pH 值条件下培养 24 h 后,通过活体叶绿素荧光方法获得小珊瑚藻的快速光反应曲线,在不同处理之间,光系统 II 的电子传递速率对于光强变化的响应表现出明显的差别(图 3),光反应曲线参数如表 2 所示。随着培养条件中 pH 值的降低,光抑制项值(a)显著增大($P = 0.011$; $P = 0.000$),这说明在低 pH 值条件下培养的小珊瑚藻,其电子传递速率受到高光强的抑制程度要显著高于在较高 pH 值下培养的藻体。光饱和点在 pH 6.8 和 5.5 两个处理中没有显著性差异($P = 0.186$),但都显著低于 pH 8.1 处理($P = 0.041$; $P = 0.039$),与 pH 8.1 相比下降了 70% 左右。电子传递效率(α)在 pH 8.1 和 6.8 之间没有显著差异($P = 0.882$),但 pH 5.5 处理中下降了约 78%,这表示在低光强下,pH 5.5 处理的藻体电子传递速率要低于另外两个处理。最大电子传递速率在 pH 6.8 中达到最高值(97.07 ± 0.76),在 pH 5.5 处理中最小(38.49 ± 2.34)。这说明 pH 值降低一定程度时(pH 6.8),对最大电子传递速率具有促进作用,而 pH 继续降低(pH 5.5),对最大电子传递速率则转变为抑制作用。

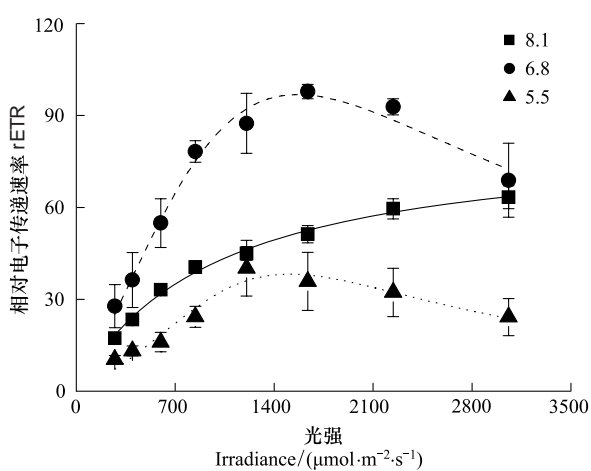


图 3 不同 pH 值处理下小珊瑚藻的快速光反应曲线

Fig. 3 rETR vs irradiance curves in *C. pilulifera* cultured under different pH levels

表 2 不同 pH 值处理下小珊瑚藻的快速光反应曲线参数表

Table 2 Parameters of rETR vs irradiance curves in *C. pilulifera* cultured under different pH levels

| | pH 8.1 | pH 6.8 | pH 5.5 |
|--|------------------------------------|------------------------------------|------------------------------------|
| 光抑制项值(a) | $(5.32 \pm 2.96) \times 10^{-7}$ a | $(4.94 \pm 1.70) \times 10^{-6}$ b | $(2.00 \pm 0.00) \times 10^{-5}$ c |
| 光饱和点(I_s)/(μmol 光子 $m^{-2} s^{-1}$) | 5324.06 ± 714.94 a | 1579.70 ± 39.04 b | 1517.57 ± 55.01 b |
| 电子传递效率(α) | 0.09 ± 0.01 a | 0.09 ± 0.04 a | 0.02 ± 0.00 b |
| 最大相对电子传递速率($rETR_{max}$) | 61.16 ± 11.45 a | 97.07 ± 0.76 b | 38.49 ± 2.34 c |

同一行中不同的小写字母上标表示数值之间存在显著性差异($P < 0.05$)

3 讨论

本研究通过向自然海水中充 CO₂气体来降低 pH 值,以此来模拟 CO₂海底封存的渗漏条件,在此基础上探讨在不同 pH 值培养条件下小珊瑚藻的光合作用和钙化作用响应,结果显示:钙化作用随着 pH 值降低而受到抑制,而光合作用在 pH 值 6.8 时受到促进,在 pH 5.5 时表现为抑制。

CO₂从大气溶入海水,由于碳酸盐系统的存在,达到如下平衡:CO₂(at) ⇌ CO₂(aq) + H₂O ⇌ H₂CO₃ ⇌ H⁺ + HCO₃⁻ ⇌ 2H⁺ + CO₃²⁻。增加溶入海水中 CO₂的量,在降低 pH 值的同时,会导致碳酸盐系统发生改变,引起 CO₂(aq)、H⁺和 HCO₃⁻浓度增加,CO₃²⁻的浓度下降,同时导致 CaCO₃的饱和度降低^[16-18]。

珊瑚藻类通过两种方式固定 CO₂:光合作用和钙化作用^[19]。光合作用是以 CO₂和 HCO₃⁻为底物,把无机碳合成有机物的过程。本研究中向培养水体中充入高浓度的 CO₂,使 pH 值降低(如降至 pH=6.8)的同时,引起培养海水中 CO₂和 HCO₃⁻的浓度增加,这为光合作用提供了更充足的底物,因而导致了小珊瑚藻光合作用的升高。高浓度 CO₂对光合作用的促进作用在多种大型海藻中都已报道^[20-22]。但是,这些研究中通过 CO₂调节的培养海水 pH 值最低为 7.0 左右,这种设定是基于 21 世纪末大气 CO₂浓度达到 800—1000 ppmv 的推测^[23],而 CO₂海底封存渗漏的酸化作用可使附近区域的 pH 降低至 6.0 以下^[24]。本研究中通过充入纯 CO₂气体调节 pH 值至 5.5,在这么低的 pH 值下,海藻的一切生理活动都将受到影响,光合固碳的关键酶 Rubisco 以及 CO₂浓缩机制的重要酶碳酸酐酶将部分或全部失活^[25],最终导致对小珊瑚藻光合作用的抑制。

钙化作用是把 CO_2 固定为 CaCO_3 过程, CO_2 浓度升高对钙化作用的影响国际上有两种截然不同的观点。Riebesell 等认为 CO_2 浓度升高引起海水中 CO_3^{2-} 浓度和 CaCO_3 饱和度的降低, 同时使得 H^+ 浓度升高, 这将引起钙化藻钙化作用的抑制^[26]。而 Iglesias-Rodriguez 等则认为, 由于钙化作用以 HCO_3^- 为直接底物, CO_2 浓度升高会引起 HCO_3^- 浓度的升高, 这对钙化藻的钙化作用是一种促进^[27]。本研究的结果与 Riebesell 等的结果类似, 在提高 CO_2 充气量的时候, 小珊瑚藻的钙化作用受到了抑制, 藻体中无机碳和有机碳的比值出现了降低。但是, Gao 等在 1993 年对小珊瑚藻的研究中发现, 在维持培养水体 pH 值稳定的条件下, 增加水体中无机碳的含量会提高藻体的钙化速率^[12]。因而, 本研究结果中钙化速率的降低, 可能是 pH 值和无机碳浓度变化的综合效应。而当培养海水 pH 值进一步降到 5.5 时, 钙化速率甚至表现为负值, 这可能是过多的 H^+ 使得小珊瑚藻的钙化组织部分溶解所造成。实际上, 在颗粒藻和珊瑚的研究中已经发现, 长期的低 pH 值培养会导致颗粒藻钙化层的明显变薄^[28] 和珊瑚钙化“骨骼”的完全消失^[29]。

快速光反应曲线是藻类光系统Ⅱ中电子传递速率对光照强度变化的快速响应曲线, 而电子传递与藻体的固碳、放氧过程密切相关, 因而, 快速光反应曲线是评价藻类光合作用变化的快速、有效的指标^[30]。本研究中发现, 不同 pH 值培养下小珊瑚藻的快速光反应曲线表现出显著的差异性, 随着酸化程度的加重, 藻体受到的光抑制程度逐步加重, 光饱和点明显降低, 这些结果说明在酸化条件下小珊瑚藻对强光照射更加敏感。Gao 和 Zheng 在对无柄珊瑚藻 (*Corallina sessilis*) 的研究中也发现, 酸化条件下藻体光合作用更容易被紫外辐射所抑制^[14]。大型钙化藻类的钙化层一般位于细胞壁或细胞间隙^[31], 这在一定程度上降低了藻细胞对于光照的敏感性, 起到了强光保护的作用。但是在酸化条件下, 由于钙化速率的降低及藻体无机碳含量的减少, 钙化层变得越来越薄^[28], 这使得藻细胞部分的失去了对强光的抵御能力, 造成了对光敏感性的加强。

致谢: 厦门大学高坤山教授, 许凯, 李伟博士和淮海工学院徐军田副教授对研究工作给予帮助, 特此致谢。

References:

- [1] Intergovernmental Panel on Climate Change (IPCC). Climate change 2001: Contribution of working groups I, II and III to the third assessment report of the intergovernmental panel on climate change, the scientific basis. Cambridge: Cambridge University Press. 2001. pp. 398.
- [2] Wilson T R S. The deep ocean disposal of carbon dioxide. Energy Conversion and Management, 1992, 33: 627-633.
- [3] Murray C N, Visintini L, Bidoglio G, Henry B. Permanent storage of carbon dioxide in the marine environment: The solid CO_2 penetrator. Energy Conversion and Management, 1996, 37: 1067-1072.
- [4] Brewer P G, Friederich G, Peltzer E T, Orr Jr F M. Direct experiments on the ocean disposal of fossil fuel CO_2 . Science, 1999, 284: 943-945.
- [5] Lackner K S. Climate change: A guide to CO_2 sequestration. Science, 2003, 300: 1677-1678.
- [6] Adams E E, Caulfield J A, Herzog H J, Auerbach D I. Impact of reduced pH from ocean CO_2 disposal: sensitivity of zooplankton mortality to model parameters. Waste Management, 1998, 17: 375-380.
- [7] Seibel B A, Walsh P J. Potential Impacts of CO_2 Injection on Deep-Sea Biota. Science, 2001, 294: 319-320.
- [8] Liu G, Lin J, Lin F. Extraction and stability study of phycoerythrins of *Corallina pilulifera*. Marine Sciences, 2006, 30(11): 23-27.
- [9] Yuan Z, Han L, Fan X, Li S, Shi D, Sun J, Ma M, Yang Y, Shi J. Chemical constituents from red alga *Corallina pilulifera*. China Journal of Chinese Materia Medica, 2006, 31(21): 1787-1790.
- [10] Qu L, Xiao H, Wang R J, Dong D, Feng C, Tang X X. Primary studies on the allelopathic effects of *Sargassum thunbergii* and *Corallina pilulifera* on *Heterosigam akashiwo*. Periodical of Ocean University of China, 2007, 37(4): 621-626.
- [11] Wang R, Tang X, Sun J. Allelopathic effects of *Corallina pilulifera* on red tide microalgae *Heterosigma akashiwo*. Chinese Journal of Applied Ecology, 2008, 19(10): 2322-2326.
- [12] Gao K, Aruga Y, Asada K, Ishihara T, Akano T, Kiyohara M. Calcification in the articulated coralline alga *Corallina pilulifera* with special reference to the effect of elevated CO_2 concentration. Marine Biology, 1993, 117, 129-132.
- [13] Gao K. On the calcification of coralline algae. Oceanologia et Limnologia Sinica, 1999, 30(3): 290-294.
- [14] Gao K, Zheng Y. Combined effects of ocean acidification and solar UV radiation on photosynthesis, growth, pigmentation and calcification of the coralline alga *Corallina sessilis* (Rhodophyta). Global Change Biology, 2010, 16: 2388-2398.
- [15] Villafaña V E, Marcoval M A, Helbling E W. Photosynthesis versus irradiance characteristics in phytoplankton assemblages off Patagonia (Argentina): temporal variability and solar UVR effects. Marine Ecology Progress Series, 2004, 284: 23-34.

- [16] Gattuso J P, Frankignoulle M, Bourge I, Romaine S, Buddemeier R W. Effect of calcium carbonate saturation of seawater on coral calcification. *Global and Planetary Change*, 1998, 18: 37-46.
- [17] Caldeira K, Wickett M E. Anthropogenic carbon and ocean pH. *Nature*, 2003, 425: 365.
- [18] Gao K. Positive and negative effects of ocean acidification: physiological responses of algae. *Journal of Xiamen University (Natural Science)*, 2011, 50(2): 411-417.
- [19] Ruan Z, Gao K. Relationship between algal calcification and elevating CO₂ concentration. *Plant Physiology Communications*, 2007, 43(4): 773-778.
- [20] Zou D H. Effects of elevated atmospheric CO₂ on growth, photosynthesis and nitrogen metabolism in the economic brown seaweed, *Hizikia fusiforme* (Sargassaceae, Phaeophyta). *Aquaculture*, 2005, 250: 726-735.
- [21] Wu H Y, Zou D H, Gao K S. Impacts of increased atmospheric CO₂ concentration on photosynthesis and growth of micro- and macro-algae. *Science in China - Series C: Life Sciences*, 2008, 51: 1-7.
- [22] Xu Z, Zou D, Gao K. Effects of elevated CO₂ and phosphorus supply on growth, photosynthesis and nutrient uptake in marine macroalgae *Gracilaria lemaneiformis* (Rhodophyta). *Botanica Marina*, 2010, 53: 123-129.
- [23] Brewer P G. Ocean chemistry of the fossil fuel CO₂ signal: the haline signal of “business as usual”. *Geophysical Research Letters*, 1997, 24: 1367-1369.
- [24] Huesemann M H, Skillman A, Grecelius E A. The inhibition of marine nitrification by ocean disposal CO₂. *Marine Pollution Bulletin*, 2002, 44: 142-148.
- [25] Giordano M, Beardall J, Raven J A. CO₂ concentrating mechanisms in algae: mechanisms, environmental modulation, and evolution. *Annual Review of Plant Biology*, 2005, 56: 99-131.
- [26] Riebesell U, Zondervan I, Rost B, Tortell P D, Zeebe R E, Morel F M M. Reduced calcification of marine plankton in response to increased atmospheric CO₂. *Nature*, 2000, 407: 129-132.
- [27] Iglesias-Rodriguez M D, Halloran P R, Rickaby R E M, Hall I R, Colmenero-Hidalgo E, Gittins G R, Green D R H, Tyrrell T, Gibbs S J, von Dassow P, Rehm E, Armbrust E V, Boessenkool K P. Phytoplankton calcification in a high-CO₂ world. *Science*, 2008, 320: 336-340.
- [28] Gao K, Ruan Z, Villafañe V E, Gattuso J P, Helbling E W. Ocean acidification exacerbates the effect of UV radiation on the calcifying phytoplankton *Emiliania huxleyi*. *Limnology & Oceanography*, 2009, 54(6): 1855-1862.
- [29] Fine M, Echternach D. Scleractinian coral species survive and recover from decalcification. *Science*, 2007, 315: 1811.
- [30] Figueroa F L, Conde-Álvarez R, Gómez I. Relations between electron transport rates determined by pulse amplitude modulated chlorophyll fluorescence and oxygen evolution in macroalgae under different light conditions. *Photosynthesis Research*, 2003, 75: 259-275.
- [31] Bilan M I, Usov A I. Polysaccharides of calcareous algae and their effect on the calcification process. *Russian Journal of Bioorganic Chemistry*, 2001, 27: 2-16.

参考文献:

- [8] 刘广发, 林均民, 林枫. 小珊瑚藻藻红蛋白提取及其稳定性研究. *海洋科学*, 2006, 30(11): 23-27.
- [9] 袁兆慧, 韩丽君, 范晓, 李帅, 史大永, 孙杰, 马明, 杨永春, 石建功. 红藻小珊瑚藻化学成分研究. *中国中药杂志*, 2006, 31(21): 1787-1790.
- [10] 曲良, 肖慧, 王仁君, 董栋, 冯朝, 唐学玺. 鼠尾藻和小珊瑚藻对赤潮异弯藻克生效应的初步研究. *中国海洋大学学报*, 2007, 37(4): 621-626.
- [11] 王仁君, 唐学玺, 孙俊华. 小珊瑚藻对赤潮异弯藻的化感效应. *应用生态学报*, 2008, 19(10): 2322-2326.
- [13] 高坤山. 珊瑚藻类钙化的研究. *海洋与湖沼*, 1999, 30(3): 290-294.
- [18] 高坤山. 海洋酸化正负效应:藻类的生理学响应. *厦门大学学报(自然科学版)*, 2011, 50(2): 411-417.
- [19] 阮祚禧, 高坤山. 钙化藻类的钙化过程与大气中 CO₂浓度变化的关系. *植物生理学通讯*, 2007, 43(4): 773-778.

ACTA ECOLOGICA SINICA Vol. 32, No. 3 February, 2012 (Semimonthly)

CONTENTS

| | |
|---|---|
| Behavioural time budgets and diurnal rhythms of the female Tibetan gazelles in the Kekexili National Nature Reserve | LIAN Ximming, LI Xiaoxiao, YAN Peishi, et al (663) |
| The relationship between the temporal-spatial distribution of fishing ground of yellowfin tuna (<i>Thunnus albacares</i>) and themocline characteristics in the tropic Indian Ocean | YANG Shenglong, ZHANG Yu, ZHANG Heng, et al (671) |
| Characteristics of algous facies of planktonic algae in lake honghu and its response to habitat | LU Bilin, YAN Pingchuan, TIAN Xiaohai, et al (680) |
| Tide elevations for four mangrove species along western coast of Guangxi, China | LIU Liang, FAN Hangqing, LI Chungan (690) |
| Effects of CO ₂ -induced seawater acidification on photosynthesis and calcification in the coralline alga <i>Corallina pilulifera</i> | XU Zhiguang, LI Meizhen, HUO Chuanlin, et al (699) |
| Impacts of coverage and canopy water depth on the spectral characteristics for a submerged plant <i>Cabomba caroliniana</i> | ZOU Weina, YUAN Lin, ZHANG Liquan, et al (706) |
| Prioritizing biodiversity in conservation planning based on C-Plan: a case study from northeast China | LUAN Xiaofeng, SUN Gongqi, QU Yi, et al (715) |
| Effects of urbanization on indigenous plant diversity: a case study of Langfang City, China | PENG Yu, LIU Xuehua, XUE Dayuan, et al (723) |
| Using infra-red cameras to survey wildlife in Beijing Songshan National Nature Reserve | LIU Fang, LI Diqiang, WU Jigui (730) |
| Individual tree biomass model by tree origin, site classes and age groups | LI Haikui, NING Jinkui (740) |
| Population genetics of <i>Niviventer confucianus</i> and its relationships with habitat area in Thousand Island Lake region | LIU Jun, BAO Yixin, ZHANG Xu, et al (758) |
| Impacts of climate change on phenological phase of herb in the main grassland in Inner Mongolia | GU RunYuan, ZHOU Weican, BAI Meilan, et al (767) |
| Atmospheric nitrogen deposition in the glacier regions of Northwest China: a case study of Glacier No. 1 at the headwaters of Urumqi River, Tianshan Mountains | WANG Shengjie, ZHANG Mingjun, WANG Feiteng, et al (777) |
| Effects of vegetation type on arthropod functional groups in the aerial habitat of salt marsh | TONG Chunfu (786) |
| The plant community distribution and migration characteristics of heavy metals in tolerance dominant species in lead/zinc mine areas in Northwestern Guizhou Province | XING Dan, LIU Hongyan, YU Pingping, et al (796) |
| Sprouting characteristic in restoration ecosystems of monsoon evergreen broad-leaved forest in south-central of Yunnan Province | SU Jianrong, LIU Wande, ZHANG Zhijun, et al (805) |
| Distribution patterns and changes of aquatic communities in Lashihai Plateau Wetland after impoundment by damming | XIAO Derong, YUAN Hua, TIAN Kun, et al (815) |
| Spatial distribution of root biomass of <i>Pinus massoniana</i> plantation in Three Gorges Reservoir area, China | CHENG Ruimei, WANG Ruili, XIAO Wenfa, et al (823) |
| Differences in biomass, litter layer mass and SOC storage changing with tree growth in <i>Larix gmelinii</i> plantations in Northeast China | WANG Hongyan, WANG Wenjie, QIU Ling, et al (833) |
| Soil carbon sequestration rates and potential in the grazing grasslands of Inner Mongolia | HE Nianpeng, HAN Xingguo, YU Guirui (844) |
| Relationships between litter substrate quality and soil nutrients in different-aged <i>Pinus massoniana</i> stands | GE Xiaogai, XIAO Wenfa, ZENG Lixiong, et al (852) |
| Compare different effect of arbuscular mycorrhizal colonization on soil structure | PENG Sili, SHEN Hong, ZHANG Yuting, et al (863) |
| The infiltration process of clay soil under different initial soil water contents | LIU Muxing, NIE Yan, YU Jing (871) |
| Diurnal variations of the greenhouse gases emission and their optimal observation duration under different tillage systems | TIAN Shenzhong, NING Tangyuan, CHI Shuyun, et al (879) |
| Effects of exogenous pb and cu stress on eco-physiological characteristics on foxtail millet seedlings of different genotypes | XIAO Zhihua, ZHANG Yixian, ZHANG Xiwen, et al (889) |
| Combined effect of temperature and salinity on the Na ⁺ -K ⁺ -ATPase activity from the gill of GIFT tilapia juveniles (<i>Oreochromis niloticus</i>) | WANG Haizhen, WANG Hui, QIANG Jun, et al (898) |
| Pattern simulation of karst rocky desertification based on cellular automata | WANG Xiaoxue, LI Xuyong, WU Xiuqin (907) |
| The role of root border cells in protecting buckwheat root apices from aluminum toxicity and their effect on polysaccharide contents of root tip cell walls | CAI Miaozen, WANG Ning, WANG Zhiying, et al (915) |
| The suitable stand structure and hydrological effects of the cypress protection forests in the central Sichuan hilly region | GONG Gutang, LI Yanqiong, ZHU Zhifang, et al (923) |
| Comprehensive evaluation of agricultural water-saving technology based on AHP and Rough Set method | ZHAI Zhifen, WANG Lanying, SUN Minzhang, et al (931) |
| Analysis of the spatial expansion characteristics of major urban agglomerations in China using DMSP/OLS images | WANG Cuiping, WANG Haowei, LI Chunming, et al (942) |
| Evaluation of non-use value of ecotourism resources: a case study in Dalai Lake protected area of China | WANG Pengwei, JIA Jingbo (955) |
| Review and Monograph | |
| Assessment indicators system of forest ecosystem health based on the harmful disturbance | YUAN Fei, ZHANG Xinyao, LIANG Jun (964) |
| Role of silicon in regulating plant resistance to insect herbivores | HAN Yongqiang, WEI Chunguang, HOU Maolin (974) |
| Scientific Note | |
| Relationships among light conditions, crown structure and branch longevity: a case study in <i>Osmanthus fragrans</i> and <i>Metasequoia glyptostroboides</i> | ZHAN Feng, YANG Dongmei (984) |
| Effects of maize straw with Bt gene return to field on growth of wheat seedlings | CHEN Xiaowen, QI Xin, WANG Haiyong, et al (993) |
| Studies of non-structural carbohydrates of <i>Cupressus funebris</i> in cifferent landslides after Wenchuan Earthquake | CHEN Bo, LI Zhihua, HE Qian, et al (999) |

《生态学报》2012 年征订启事

《生态学报》是中国生态学学会主办的自然科学高级学术期刊,创刊于 1981 年。主要报道生态学研究原始创新性科研成果,特别欢迎能反映现代生态学发展方向的优秀综述性文章;研究简报;生态学新理论、新方法、新技术介绍;新书评介和学术、科研动态及开放实验室介绍等。

《生态学报》为半月刊,大 16 开本,280 页,国内定价 70 元/册,全年定价 1680 元。

国内邮发代号:82-7 国外邮发代号:M670 标准刊号:ISSN 1000-0933 CN 11-2031/Q

全国各地邮局均可订阅,也可直接与编辑部联系购买。欢迎广大科技工作者、科研单位、高等院校、图书馆等订阅。

通讯地址:100085 北京海淀区双清路 18 号 电 话:(010)62941099; 62843362

E-mail: shengtaixuebao@rcees.ac.cn 网 址: www.ecologica.cn

编辑部主任 孔红梅

执行编辑 刘天星 段 靖

生态学报

(SHENGTAI XUEBAO)

(半月刊 1981 年 3 月创刊)

第 32 卷 第 3 期 (2012 年 2 月)

ACTA ECOLOGICA SINICA

(Semimonthly, Started in 1981)

Vol. 32 No. 3 2012

编 辑 《生态学报》编辑部
地址:北京海淀区双清路 18 号
邮政编码:100085
电话:(010)62941099
www.ecologica.cn
shengtaixuebao@rcees.ac.cn

主 编 冯宗炜
主 管 中国科学技术协会
主 办 中国生态学学会
中国科学院生态环境研究中心
地址:北京海淀区双清路 18 号
邮政编码:100085

出 版 科 学 出 版 社
地址:北京东黄城根北街 16 号
邮政编码:100717

印 刷 北京北林印刷厂
行 销 科 学 出 版 社
地址:东黄城根北街 16 号
邮政编码:100717
电话:(010)64034563
E-mail:journal@cspg.net

订 购 全国各地邮局
国外发行 中国国际图书贸易总公司
地址:北京 399 信箱
邮政编码:100044

广告经营 许可证 京海工商广字第 8013 号

Edited by Editorial board of
ACTA ECOLOGICA SINICA
Add: 18, Shuangqing Street, Haidian, Beijing 100085, China
Tel: (010) 62941099
www.ecologica.cn
Shengtaixuebao@rcees.ac.cn

Editor-in-chief FENG Zong-Wei
Supervised by China Association for Science and Technology
Sponsored by Ecological Society of China
Research Center for Eco-environmental Sciences, CAS
Add: 18, Shuangqing Street, Haidian, Beijing 100085, China

Published by Science Press
Add: 16 Donghuangchenggen North Street,
Beijing 100717, China

Printed by Beijing Bei Lin Printing House,
Beijing 100083, China

Distributed by Science Press
Add: 16 Donghuangchenggen North
Street, Beijing 100717, China
Tel: (010) 64034563

E-mail: journal@cspg.net
Domestic All Local Post Offices in China
Foreign China International Book Trading
Corporation
Add: P. O. Box 399 Beijing 100044, China

ISSN 1000-0933
9 771000093125
0 3 >